

金沢大学工学部 正会員 ○ 間口秀雄
京都大学防災研究所 正会員 柴田 敏

要旨 軟弱地盤上に盛土を行うと、盛り立て速度の大小に応じて、地盤には流動あるいは圧密変形が卓越して生ずる。本研究では、このような漸増盛土荷重下の粘土地盤の弾・粘塑性挙動を有限要素法で解析した結果に基づいて、盛土基礎地盤の極限支持力にあよぼす盛り立て速度つまり載荷速度の影響をはじめ、地盤の圧密係数ならびに最大排水距離の影響を、シンプルな関係式で統一的に表現できることを明らかにする。ついで、この関係式の実用的意義について簡単に述べる。

1. 側方変形係数～盛土圧密係数に基づく地盤の極限支持力の予測

前報¹⁾では、漸増盛土荷重下の粘土地盤の弾・粘塑性挙動を有限要素法で解析し、その結果、載荷段階の比較的後期において側方変形係数 ϕ_s/ϕ_u が盛土圧密度に対して直線的に減少するというパターンを見出すとともに、このパターンを利用して実際に盛土の破壊予測が行えることを明らかにしている。図-1は、そのベースとなった計算結果を再掲したので、図-2には、上述のパターンを利用して図-1から求めた極限支持力 q_{ult} の値を地盤の透水係数 k に対してプロットしてある。図-2にはまた、引途計算しておいた $\dot{q} = 0.45 \text{ t/m}^2/\text{day}$ の場合の q_{ult} ~ 圧密係数を合わせてプロットしてある。同図において注目されることは、 q_{ult} が k とともに直線的に増加する傾向を示していることに、その割合が載荷速度 \dot{q} の増加とともに低下していることである。これらの結果は、地盤の極限支持力にあよぼす載荷速度の影響を明らかにするための出発点にならうと思われる所以、次節でさらに詳しく検討することにしよう。

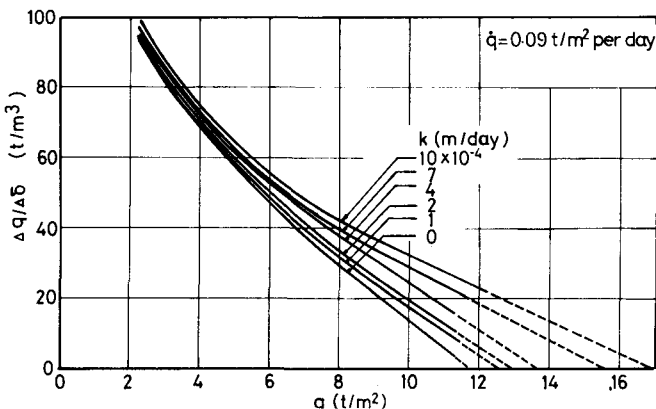


図-1 側方変形係数～盛土圧密係数¹⁾

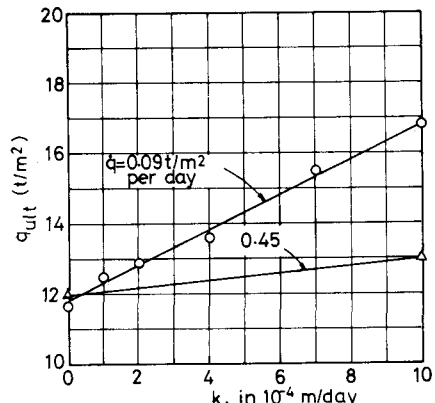


図-2 q_{ult} ~ k ~ \dot{q} 関係¹⁾

2. 地盤の極限支持力にあよぼす載荷速度の影響

本節ではまず、先出の図-2の結果を説明でき、かつ圧密に関する従来からの研究結果等と適合する次の関係式を作業仮説として採用する。

$$q_{ult} = (q_{ult})_u \cdot \left[1 + C_R \cdot \frac{C_r}{H_{md}} \cdot \frac{(q_{ult})_u}{\dot{q}} \right] \quad (1)$$

ここで、 $(q_{ult})_u$ は地盤に圧密が生じない場合の極限支持力、 C_R は無次元の比例定数、 C_r は圧密係数で、本研究では初期圧縮係数 $m_{so} = \frac{\lambda}{1+\lambda} \cdot \frac{1}{C_r}$ を用い、 $C_r = \frac{P_0}{m_{so} \cdot \gamma_w}$ と定義している。 H_{md} は軟弱層の最大排水距離、 \dot{q}

は載荷速度である。

本研究では最終的に、地盤の極限支持力の載荷速度依存性という現象が式(1)に従うことを提案するわけであるが、そこには過程をつぎの3段階に分けて説明しよう(表-1参照)。i) \dot{q} と H_{md} を固定し、 C_R を変動させた場合の検討。ii) C_R と H_{md} を固定し、 \dot{q} を変動させた場合の検討。iii) C_R と \dot{q} を固定し、 H_{md} を変動させた場合の検討。

段階i)で使用した計算例は、Run 1, 4, 6, 7, 8, 9の6例で、式(1)の関係が成立することとは当初の仮定からして当然であるが、最小二乗法の適用の結果、

$$C_R = 3.55 \quad (2)$$

と置けばよいことが判明した。図-2中の $\dot{q} = 0.09 t/m^2/day$ に対する直線か、このよろしく求めた直線である。

段階ii)で得られた結果を示したもののが、図-3である。図中の実線が式(1)において $C_R = 3.55$ とした場合の計算曲線で、Run 9, 10, 11の結果をよくフィットしていることが明らかである。なお、その後、 $(g_{ult})_u \sim \dot{q}$ 関係として同図中の破線の関係を利用している。

段階iii)で使用した計算例はRun 5で、この場合には $g_{ult} = 15.2 t/m^2$ なる値が、48/48~8法の適用の結果、求まった。他方、式(1)によると測定値は $g_{ult} = 15.1 t/m^2$ であり、上記の値とよく一致している。ただし、 $(g_{ult})_u$ の値としては、その値が盛土強度Bと軟弱層厚Hとの比 B/H に依存することを考慮して、Run 3から求めた値、 $(g_{ult})_u = 12.8 t/m^2$ を用いている。

したがって、本解析によれば、盛土基礎地盤の極限支持力における載荷速度の影響は、式(1)によって表現できることになる。ただし、 $C_R = 3.55$ である。

3. 実際面への適用性について

軟弱地盤上の盛土施工では、盛土荷重に見合っただけの地盤の支持力が期待できるよう載荷速度をコントロールすることが肝要である。この観点からして、式(1)より求めた関係が次式である。

$$\frac{(g_{ult})_u}{g_{ult}} = \frac{\sqrt{1+4C_R T_{ult}} - 1}{2C_R \cdot T_{ult}}, \quad T_{ult} = \frac{C_R}{H_{md}} \cdot \frac{g_{ult}}{\dot{q}} \quad (3)$$

上式によれば、盛り立て中に地盤の支持力がどの程度圧密によって増加したかを、実際の盛土破壊例から逆算することも可能である(図-4参照)。

今後、種々の角度から式(1)または式(3)の適用性を確かめていく予定である。

参考文献 1) 柴田・關口：盛土の破壊予測、第14回土質工学研究発表会、1979.

表-1 計算例における主要パラメータ

Run number	k (m/day)	\dot{q} (t/m ² /day)	H (m)	H_{md} (m)	B/H
1	0×10^{-4}	0.09	16	-	2
2	0	0.45	16	-	2
3	0	0.09	8	-	4
4	1	0.09	16	8	2
5	1	0.09	8	4	4
6	2	0.09	16	8	2
7	4	0.09	16	8	2
8	7	0.09	16	8	2
9	10	0.09	16	8	2
10	10	0.18	16	8	2
11	10	0.45	16	8	2

$$N.B. m_{vo} = 0.0172 \text{ m}^2/\text{t}, Y_w = 1 \text{ t/m}^3.$$

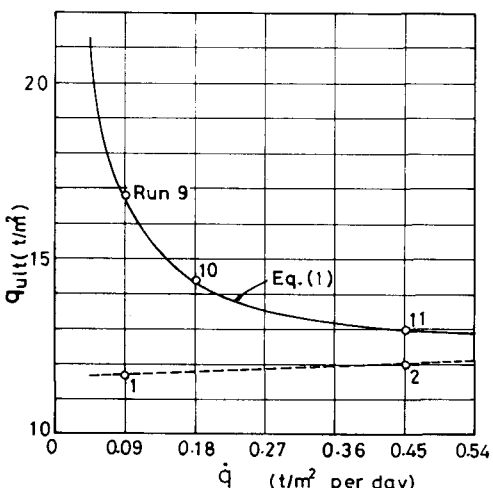


図-3 $g_{ult} \sim \dot{q}$ 関係

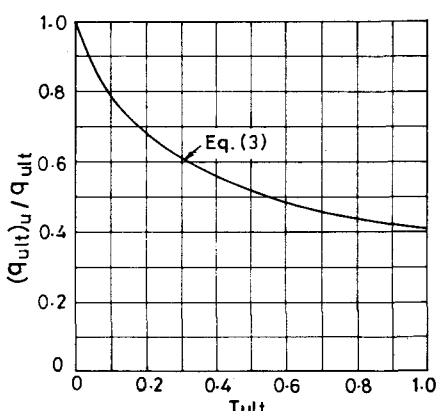


図-4 支持力比と T_{ult} の関係